

## ОБ АНОМАЛЬНОМ МАГНИТОСОПРОТИВЛЕНИИ ПЛАСТИЧЕСКИ ДЕФОРМИРОВАННОГО ГЕРМАНИЯ

*О.В.Жариков, Ю.А.Осипьян, С.А.Шевченко*

Сообщается о наблюдении аномального положительного магнитосопротивления в монокристаллах сильно деформированного германия. Результаты обсуждаются в рамках теорий слабой локализации и электрон-электронного взаимодействия.

В последние годы интенсивно ведется исследование неупорядоченных систем различной размерности. Внимание экспериментаторов к исследованию подобного класса веществ существенно стимулировало создание теорий слабой локализации электронов (СЛЭ) и электрон-электронного взаимодействия (ЭЭВ), объяснивших природу аномального магнитосопротивления (АМС) в полупроводниках и металлах и ряд других явлений <sup>1</sup>.

В настоящей работе мы пытались выяснить, сказываются ли квантовые когерентные явления (СЛЭ, ЭЭВ) на кинетических электронных свойствах сильно деформированного Ge, имеющего заметную дислокационную проводимость на постоянном токе при низких температурах <sup>2</sup>.

С этой целью в образцах сильно пластически деформированного Ge в интервале температур ( $T$ )  $0,6 \div 10$  К измерялось сопротивление на постоянном токе ( $R$ ) при различных напряженностях магнитного поля  $H$  (от 0 до 20 кЭ). Измерения проводились в установке с

откачкой  $\text{He}^3$ . Температура определялась полупроводниковым термометром сопротивления и по давлению паров  $\text{He}^3$ . Магнитное поле создавалось сверхпроводящим соленоидом. Были использованы кристаллы высокочистого Ge *p*-типа с концентрацией мелких акцепторов  $\approx 10^{12} \text{ см}^{-3}$ . Пластическая деформация сжатием вдоль  $<100>$  проводилась в условиях динамического нагружения со скоростью 10–20 мкм/мин при  $T = 750^\circ \text{C}$  в вакууме  $\sim 10^{-2}$  мм. рт. ст. до степени деформации  $\epsilon = 25 - 40\%$ .

Исследование температурной зависимости  $R(T)$  при  $H = 0$  показало, что для указанных степеней деформации в интервале температур 0,6–10 К выполняется закон  $R(T) \sim T^y$ , где  $y \approx 0,1$ . Следует отметить, что функциональная зависимость  $R(T)$  согласуется с данными работ <sup>2–4</sup>, однако, минимальное значение  $y$ , полученное в <sup>3</sup>, составляло 0,5. Это различие может быть связано, по-видимому, с конкретными особенностями дислокационной структуры, плотностью и распределением дислокаций <sup>1)</sup>.

Опишем теперь результаты исследования поперечного магнитосопротивления  $R(H)$ . Для измерения  $R(H)$  на горизонтальную ось самописца подавался сигнал, пропорциональный магнитному полю, а на вертикальную – напряжение на образце, из которого вычиталось напряжение в нулевом магнитном поле при данной температуре и неизменном измерительном токе  $I = 9 \text{ мА}$ . Полученные таким образом кривые, отражающие изменение сопротивления в магнитном поле  $\Delta R(H) = R(H) - R(0)$  при разных  $T$  для образца Ge с  $\epsilon = 27\%$ , приведены на рис.1.

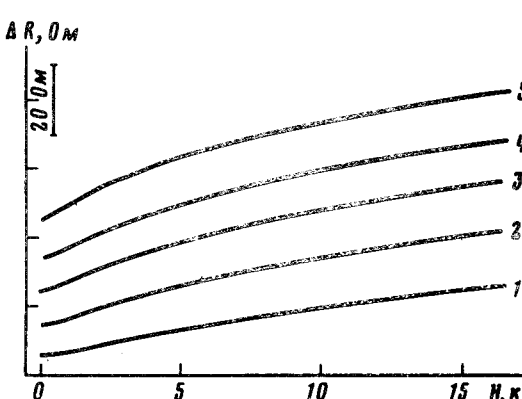


Рис. 1

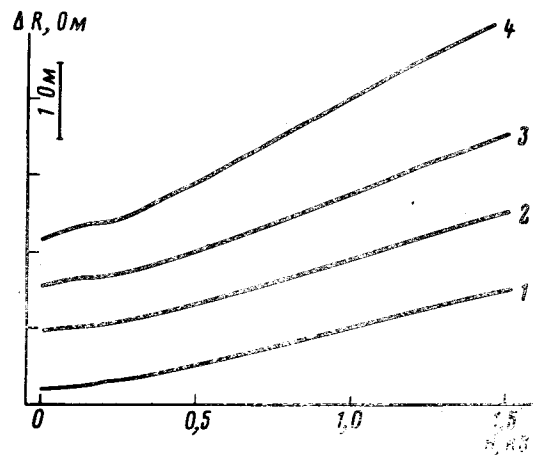


Рис. 2

Рис.1. Магнитосопротивление образца Ge с  $\epsilon = 27\%$  ( $R_{4,2\text{K}} = 395 \text{ Ом}, \rho_{4,2\text{K}} = 6,3 \text{ Ом} \cdot \text{см}$ ) при разных температурах: 1 –  $T = 2,4 \text{ K}$ , 2 –  $1,47 \text{ K}$ , 3 –  $1,0 \text{ K}$ , 4 –  $0,75 \text{ K}$ , 5 –  $0,6 \text{ K}$ . Кривые для наглядности смешены по вертикальной оси

Рис.2. Магнитосопротивление образца Ge с  $\epsilon = 38\%$  ( $R_{4,2\text{K}} = 196 \text{ Ом}, \rho_{4,2\text{K}} = 5,8 \text{ Ом} \cdot \text{см}$ ) в слабых полях при температурах: 1 –  $T = 2,5 \text{ K}$ , 2 –  $1,92 \text{ K}$ , 3 –  $1,3 \text{ K}$ , 4 –  $0,65 \text{ K}$

Отметим следующие особенности этих кривых.

1. Знак магнитосопротивления положителен при всех значениях  $H$ .
2. Заметное положительное магнитосопротивление (ПМС) наблюдается при малых  $H \sim 10^2 \text{ Гц}$  (см. также рис.2). При увеличении  $H$  на кривых имеется перегиб, после которого зависимость  $\Delta R(H)$  ослабевает и постепенно выходит на асимптотику.
3. При понижении температуры растет абсолютное значение ПМС. При этом в слабых полях ( $H < 10^3 \text{ Гц}$ ) зависимость  $\Delta R(H)$  усиливается, а в более сильных ( $H \sim 10^4 \text{ Гц}$ ) – наоборот. Кривых  $\Delta R(H)$  практически не зависит от температуры.

<sup>1)</sup> Результаты электронно-микроскопического исследования дислокационной структуры деформированного Ge будут приведены в последующих публикациях.

При увеличении  $\epsilon$  все характерные особенности кривых  $\Delta R(H)$  сохраняются, однако, в области слабых полей ( $\sim 10 - 10^3$  Э) в некоторых случаях на кривых наблюдается „тонкая структура“ (см. рис.2, где представлены данные для образца Ge с  $\epsilon = 38\%$ ).

Обсудим полученные результаты. Согласно<sup>2</sup>, низкотемпературная проводимость на постоянном токе в сильно деформированном Ge связывается с движением дырок по системе неупорядоченных пересекающихся дислокационных линий. В этом случае возможны, в принципе, следующие процессы, определяющие зависимость  $R(T)$  и ПМС исследуемых образцов: Андерсоновская локализация, классические проводимость и магнитосопротивление, а также СЛЭ и ЭЭВ. Слабая степенная зависимость  $R(T)$  и вид кривых  $\Delta R(H)$  свидетельствуют об отсутствии Андерсоновской локализации<sup>6,5</sup>. В рамках классических представлений (при условии постоянства константы Холла в сильно деформированном Ge при низких температурах<sup>2</sup>) можно было бы предположить, что наблюдаемый рост  $R(T)$  обусловлен уменьшением длины свободного пробега. Тогда, если полагать, что магнитное поле влияет на траекторию носителей, зависимость  $\Delta R(H)$  должна была бы ослабевать при уменьшении температуры (и росте  $|R(T)|$ ), что противоречит нашим экспериментальным данным (см. рис.1, кривая 2). С другой стороны, именно появление АМС в области классически слабых полей ( $10^1 - 10^4$  Э) и его температурная зависимость качественно согласуются с экспериментальными результатами, полученными в полупроводниках в других случаях, например,<sup>8,7</sup> и объясняемыми в рамках СЛЭ и ЭЭВ. Поэтому, учитывая общий характер теории квантовых когерентных явлений<sup>1</sup>, можно считать целесообразным привлечение представлений этой теории для обсуждения АМС в пластически сильно деформированном Ge.

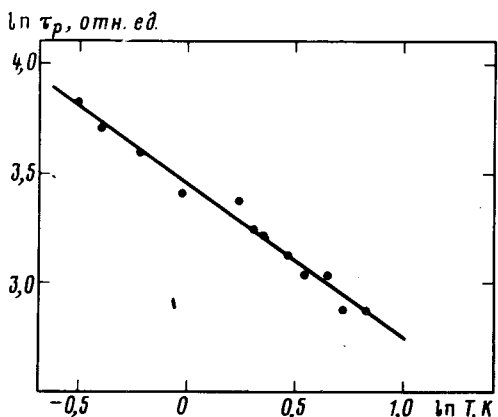


Рис. 3. Температурная зависимость времени релаксации фазы  $\tau_\phi$  для образца Ge,  $\epsilon = 27\%$

Согласно<sup>1</sup> характерные масштабы магнитных полей  $H^0$ , в которых магнитосопротивление выходит на асимптотику в случае СЛЭ и ЭЭВ, обычно заметно различаются, а именно  $H_{\text{ЭЭВ}}^0 \gg H_{\text{СЛЭ}}^0$ . С учетом полученных экспериментальных результатов это позволяет нам ограничиться на первом этапе рассмотрением наблюдаемого АМС в рамках теории СЛЭ. Сравнение полученных кривых  $\Delta R(H, T)$  с теорией СЛЭ в полупроводниках<sup>1</sup> показывает, что знак магнитосопротивления, его температурная зависимость, выход кривых на асимптотику при  $H \sim 10^4$  Э и независимость наклона  $\Delta R(H)$  от  $T$  в этих полях качественно согласуются с предсказаниями теории для невзаимодействующих электронов в двумерном случае:

$$G(H) - G(0) = c_2 \frac{e^2}{2\pi^2 \hbar} f_2 \left( \frac{4DeH}{\hbar c} \tau_\phi \right), \quad (1)$$

$$f_2(x) = \begin{cases} x^2/24 & x \ll 1 \\ \ln x & x \gg 1 \end{cases} .$$

Здесь  $G(H) = 1/R^{\square}(H)$  — проводимость „на квадрат” в магнитном поле,  $\tau_\phi$  — время релаксации фазы волновой функции из-за неупругих столкновений,  $D$  — коэффициент диффузии электронов, а  $c_2 = -1/4$  для  $p$ -Ge, что соответствует ПМС.

Температурная зависимость  $\Delta R(H)$  в пределе слабых полей, согласно (1), определяется температурной зависимостью  $[\tau_\phi/T]^2$  при неизменном коэффициенте диффузии  $D$ . В предположении, что  $\tau_\phi \sim T^{-p}$ , из экспериментальных данных в области слабых полей были определены значения  $p$  (рис.3), равные 0,47 и 0,37 для образцов с  $\epsilon = 27\%$  и  $\epsilon = 37\%$  соответственно. Зависимость  $\tau_\phi \sim T^{-0.5}$  теоретически получена в работе <sup>9</sup>, где рассмотрено неупругое рассеяние из-за электрон-электронного взаимодействия в одномерном случае. Если близость экспериментальных значений  $p$  к 0,5 не случайна, то, можно предположить, что в пластически деформированном Ge в различных процессах (изменение  $K$  в магнитном поле, температурная зависимость  $\Delta R(H)$ ) проявляется различная размерность дислокационной структуры. Кроме того, по-видимому, квантовые когерентные явления (СЛЭ, ЭЭВ) влияют также и на характер температурной зависимости дислокационной проводимости в нулевом магнитном поле. Все эти вопросы мы предполагаем более детально исследовать в дальнейшем.

В заключение авторы выражают глубокую благодарность В.М.Винокуру, А.И.Ларкину, И.А.Рыжкину и Д.Е.Хмельницкому за многочисленные полезные обсуждения, а также В.Ф.Гантмахеру за ценные критические замечания.

#### Литература

1. Альтшулер Б.Л., Аронов А.Г., Ларкин А.И., Хмельницкий Д.Е. ЖЭТФ, 1981, 81, 768.
2. Осипьян Ю.А., Шевченко С.А. Письма в ЖЭТФ, 1981, 33, 218.
3. Зиновьева К.Н., Кожух М.Л., Трунов В.А., Рыбкин С.М., Шлимак И.С. Письма в ЖЭТФ, 1979, 30, 303.
4. Межов-Дегтин Л.П., Шевченко С.А. Авторское свидетельство № 821955, 1981, опубликовано в библиотеке изобретений № 14, 1981 г., стр. 217.
5. Шкловский Б.И. Письма в ЖЭТФ, 1982, 36, 43.
6. Альтшулер Б.Л., Аронов А.Г., Хмельницкий Д.Е. Письма в ЖЭТФ, 1982, 36, 157.
7. Полянская Т.А., Сайдышев И.И. Письма в ЖЭТФ, 1981, 34, 378.
8. Савченко А.К., Луцкий В.Н., Сергеев В.И. Письма в ЖЭТФ, 1982, 36, 150.
9. Altshuler B.L., Aronov A.L. Sol. St. Comm., 1981, 38, 11,